

# 下行漫衰减系数 $K_d(z)$ 分析求解

黄昌春, 李云梅, 孙德勇, 乐成峰

(南京师范大学虚拟地理环境教育部重点实验室, 江苏 南京 210046)

[摘要] 漫衰减系数  $K(z)$  是湖泊光学研究中的重要光学参数, 而其中下行漫衰减系数  $K_d(z)$  目前的计算方法主要是经验算法, 而这些方法对于理解  $K_d(z)$  以及影响  $K_d(z)$  计算不确定性的分析是远远不够的。本文通过求解辐射传输方程得到  $K(z)$  的解析模型, 分析固有光学属性  $\frac{b_b(z)}{a(z)}$  以及表观光学属性  $\frac{1}{u_d(z)}$  和  $\frac{1}{u_u(z)}$  对计算  $K(z)$  时误差引入的敏感度, 根据其敏感度为 0 的分界点, 推演出  $K_d(z)$  在  $\frac{b_b(z)}{a(z)} \ll 1$  和  $\frac{b_b(z)}{a(z)} \gg 1$  条件下的综合分段模型, 预测值与 Hydro light 模拟值方差为 1.0023, 标准差为 1.0011。

[关键词] 漫衰减系数, 敏感度, Hydro light 模拟

[中图分类号] X703.5 [文献标识码] A [文章编号] 1001-4616(2010)01-0112-08

## Analysis Solving of Downwelling Diffuse Attenuation Coefficient $K(z)$

Huang Changchun, Li Yumei, Sun Deyong, Le Chengfeng

(Key Laboratory of Virtual Geographic Environment of Ministry of Education, Nanjing Normal University, Nanjing 210046, China)

**Abstract** Diffuse attenuation coefficient  $K(z)$  is an important optical parameter in the research of lake optical property, the current calculation methods of downwelling diffuse attenuation coefficient  $K_d(z)$  is mainly experience algorithm, and all of these methods for understanding  $K_d(z)$  and the uncertainty effects of the  $K_d(z)$  analysis are far from enough. By resolving the radiation transfer equation, we got the analytical model of  $K_d(z)$ , by analysing of the sensitivity degree of the inherent optical properties  $\frac{b_b(z)}{a(z)}$  and the apparent optical properties  $\frac{1}{u_d(z)}$ ,  $\frac{1}{u_u(z)}$  to the introducing error when calculate  $K_d(z)$ , we deduced the  $K_d(z)$ 's Sub integrated model under the condition of  $\frac{b_b(z)}{a(z)} \ll 1$  and  $\frac{b_b(z)}{a(z)} \gg 1$  according to the zero sensitivity boundaries points, the variance and standard deviation between the Hydro light simulation and predictive value of model is 1.0023 and 1.0011 respectively.

**Key words** diffuse attenuation coefficient, sensitivity degree, hydro light simulation

水体漫衰减系数  $K(z)$  是一重要的光学参数, 其中下行漫衰减系数  $K_d(z)$ , 无论是在计算水体真光层、反演水体固有光学属性方面, 还是在反推刚好处于水表面以下的反射率, 都有着不可或缺的作用<sup>[1-6]</sup>, 因此下行漫衰减系数  $K_d(z)$  成为研究的重点和热点。国内外很多学者对其进行了研究, 张运林<sup>[7,8]</sup>等分析了太湖水体表层光学衰减系数与透明度、无机和有机颗粒物质及叶绿素  $a$  的相关关系, 建立了表层水光学衰减系数与无机、有机颗粒物质及叶绿素  $a$  多元线性回归方程; 王晓梅<sup>[9]</sup>等利用遥感反射比反演水体 490 nm 波段的漫衰减系数和海水透明度的统计反演模式; Zhong-Ping Lee<sup>[10,11]</sup>等在辐射传输方程基础上建立  $K_d(z)$  的半分析模型, 并利用 Hydro light 模拟数据计算模型中的参数, 得到了更加精确的  $K_d(z)$  计算模型; Bergot Paavel<sup>[3]</sup>等根据湖泊水体实测数据给出了 490 nm 单波段  $K_d(z)$  反演模型, 并建立了 400~700 nm

收稿日期: 2009-06-16

基金项目: 十一五国家科技支撑计划项目(2008BAC34B05)、江苏省2008年度普通高校科研创新计划(CX09B-301Z)、南京师范大学优秀博士论文培养计划(12432116011036)。

通讯联系人: 黄昌春, 硕士研究生, 研究方向: 环境污染遥感监测。E-mail: huangchangchun\_aa@163.com

范围内的  $K_{d\text{ PAR}}(z)$  模型, 然而这些模型没有系统地分析  $K_d(z)$  的影响因子, 以及  $\frac{b_b(z)}{a(z)}$  变化对模型精度的影响, 本文在辐射传输方程的理论基础之上, 根据固有光学属性  $\frac{b_b(z)}{a(z)}$  以及表观光学属性  $\frac{1}{u_d(z)}$  和  $\frac{1}{u_u(z)}$  对  $K_d(z)$  计算误差引入敏感度, 利用其敏感度分界点从而在理论上确定  $K_d(z)$  的计算模型.

## 1 $K(z)$ 的解析表示形式

辐射传输方程的一般表现形式为:

$$\frac{dL(z, \theta, \varphi)}{dz} \cos\theta = -dL(z, \theta, \varphi) + \int_0^{\pi} \beta(z, \theta, \varphi, \theta', \varphi') L(z, \theta', \varphi') d\omega', \quad (1)$$

其中  $z$  深度单位为 m,  $\theta$  为太阳天顶角,  $\varphi$  为方位角,  $c$  为衰减系数, 是吸收系数  $a$  和散射系数  $b$  之和  $c = a + b$ , 辐射传输方程右边中的  $-dL(z, \theta, \varphi)$  项表示由于散射和吸收而引起的  $L(z, \theta, \varphi)$  能量的损失;  $\int_0^{\pi} \beta(z, \theta, \varphi, \theta', \varphi') L(z, \theta', \varphi') d\omega'$  项表示由于散射作用, 由  $\theta'$  和  $\varphi'$  方向上的  $L(z, \theta', \varphi')$  散射到  $\theta$  和  $\varphi$  方向上使得  $L(z, \theta, \varphi)$  增强的项.

(1) 对辐射传输方程在下半球范围内积分得到:

$$\frac{dE_d(z)}{dz} = -\frac{a(z)}{u_d(z)} E_d(z) - \frac{r_d(z) b_b(z)}{u_d(z)} E_d(z) + \frac{r_u(z) b_b(z)}{u_u(z)} E_u(z). \quad (2)$$

(2) 对辐射传输方程在上半球范围内积分得到:

$$-\frac{dE_u(z)}{dz} = -\frac{a(z)}{u_u(z)} E_u(z) - \frac{r_u(z) b_b(z)}{u_u(z)} E_u(z) + \frac{r_d(z) b_b(z)}{u_d(z)} E_d(z). \quad (3)$$

引入  $a_d(z) = a(z)/u_d(z)$ ,  $b_d(z) = r_d(z)b_b(z)/u_d(z)$ ,  $c_d(z) = a_d(z) + b_d(z)$ ,

$a_u(z) = a(z)/u_u(z)$ ,  $b_u(z) = r_u(z)b_b(z)/u_u(z)$ ,  $c_u(z) = a_u(z) + b_u(z)$ .

其中  $\overline{u_d}$ ,  $\overline{u_u}$ ,  $r_d$ ,  $r_u$  分别为下行、上行平均余弦, 下行和上行光场分布形状因子<sup>[1-12-15]</sup>,  $a(z)$  和  $b_b(z)$  为吸收和后向散射系数.

则 (2) 式和 (3) 式简化为

$$\frac{dE_d(z)}{dz} = -c_d(z)E_d(z) + b_u(z)E_u(z), \quad (4-1)$$

$$-\frac{dE_u(z)}{dz} = -c_u(z)E_u(z) + b_d(z)E_d(z). \quad (5-1)$$

对 (4-1) 和 (5-1) 两边分别同时除以  $E_d(z)$ ,  $E_u(z)$  得到:

$$\begin{aligned} -\frac{dE_d(z)}{E_d(z) dz} &= c_d(z) - b_u(z)R(z) = \left( \frac{a(z)}{u_d(z)} + \frac{b_b(z)r_d(z)}{u_u(z)} \right) - \frac{b_b(z)r_u(z)}{u_u(z)}R(z) = \\ &\quad \frac{a(z)}{u_d(z)} + b_b(z) \left( \frac{r_d(z)}{u_d(z)} - \frac{r_u(z)}{u_u(z)}R(z) \right), \\ -\frac{dE_u(z)}{E_u(z) dz} &= -c_u(z) + b_d(z)R(z) = -\left( \frac{a(z)}{u_u(z)} + \frac{b_b(z)r_u(z)}{u_u(z)} \right) + \frac{b_b(z)r_d(z)}{u_d(z)}R(z) = \\ &\quad -\frac{a(z)}{u_u(z)} + b_b \left( \frac{r_d(z)}{u_d(z)}R(z) - \frac{r_u(z)}{u_u(z)} \right). \end{aligned}$$

即得到:

$$\frac{K_d(z)}{a(z)} = \frac{1}{u_d(z)} + \frac{b_b(z)}{a(z)} \left( \frac{r_d(z)}{u_d(z)} - \frac{r_u(z)}{u_u(z)}R(z) \right), \quad (4-2)$$

$$\frac{K_u(z)}{a(z)} = -\frac{1}{u_u(z)} + \frac{b_b(z)}{a(z)} \left( -\frac{r_u(z)}{u_u(z)} + \frac{r_d(z)}{u_d(z)}R(z) \right). \quad (5-2)$$

从 (4-2) 和 (5-2) 可以看出影响上行和下行漫衰减系数的因子主要是: 吸收系数  $a$ , 后向散射系数  $b_b$ , 上行和下行平均余弦 ( $u_d$ ,  $u_u$ ), 上行和下行光场分布形状因子 ( $r_d$ ,  $r_u$ ), 以及反射率  $R(z)$ . 而在水体边界

条件确定的情况下, 上行和下行平均余弦( $u_d$ ,  $u_u$ )、上行和下行光场分布形状因子( $r_d$ ,  $r_u$ ), 以及反射率 $R(z)$ 主要是由水体的固有光学属性所决定<sup>[16-18]</sup>, 因此在确定的水体边界条件下, 对 $K_d(z)$ 、 $K_u(z)$ 的影响主要是吸收系数和后向散射系数引起的.

## 2 Hydrolight数值模拟

Hydrolight数值模拟需要输入的数据有: 1) 水体固有光学属性: 吸收系数 $a$ 和散射系数 $b$ 散射相函数的选取(Hydrolight软件自带的散射相函数集, 或输入水体的后向散射系数文件); 2) 表观光学属性的: 总的入射辐照度计算(可以使用Hydrolight软件自带Radtran计算模型进行计算, 也可以输入实际测量的总的入射辐照度); 3) 边界条件的输入: 水气界面的边界条件, 包括风速 $v$ 、天空状况(太阳天顶角、天空光比例)、大气条件(大气压强、平均风速、能见度、相对湿度、臭氧、大气类型), 以及水体中叶绿素和黄质的荧光效应、水分子的拉曼散射的条件, 水体底反射.

本文数据是在实验水槽内利用AC-S实测吸收和散射数据, 在固定的吸收系数和散射系数条件下, 以不同后向散射率来改变 $\frac{b_b(z)}{a(z)}$ 的取值; 利用水下光谱仪RAMSES-ACC探头实测总的入射辐照度, 太阳天顶角利用测量时间和该地点的经纬度计算得到, 天空光比例是利用ASD分别测量灰板和遮挡灰板得到; 并对总入射辐照度、太阳高度角、天空光比例进行归一化处理后作为输入条件, 风速为0m/s无底反射, 叶绿素和黄质荧光效应以及水分子的拉曼散射效应忽略.

## 3 敏感度分析与模型建立

### 3.1 敏感度分析

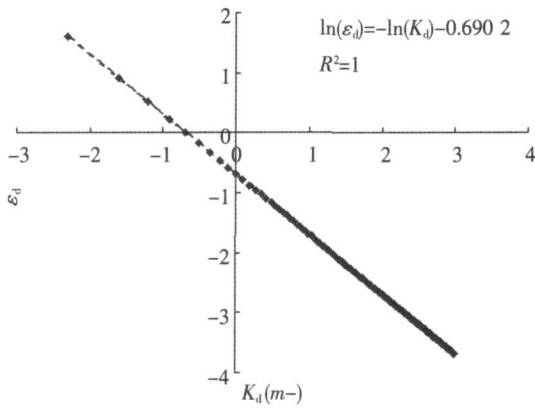
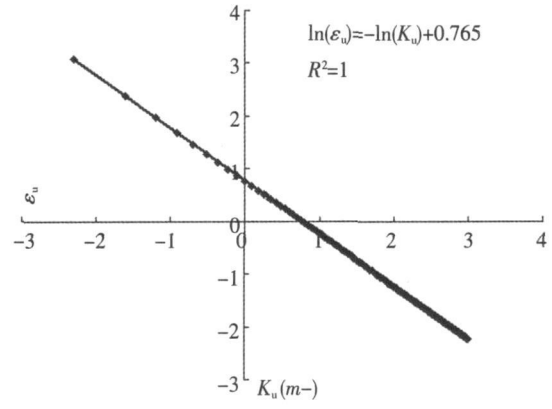
#### 3.1.1 $K_d(z)$ , $K_u(z)$ 对 $\frac{b_b(z)}{a(z)}$ 的敏感度分析

规范化敏感度因子 $\varepsilon$ 表示了引入误差与所产生的输出误差的比值, 即利用 $\frac{b_b(z)}{a(z)}$ 计算 $K_d(z)$ ,  $K_u(z)$ 时,  $K_d(z)$ ,  $K_u(z)$ 值对引入误差的敏感程度. 计算公式如下:

$$\begin{aligned}\varepsilon_d &= \frac{\frac{b_b(z)}{a(z)} \frac{\partial K_d(z)}{\partial \frac{b_b(z)}{a(z)}}}{\frac{K_d(z)}{a(z)}} = \frac{a(z)}{K_d(z)} \frac{b_b(z)}{a(z)} \left( \frac{r_d(z)}{u_d(z)} - \frac{r_u(z)}{u_u(z)} R(z) \right) = \frac{b_b(z)}{K_d(z)} \left( \frac{r_d(z)}{u_d(z)} - \frac{r_u(z)}{u_u(z)} R(z) \right), \\ \varepsilon_u &= \frac{\frac{b_b(z)}{a(z)} \frac{\partial K_u(z)}{\partial \frac{b_b(z)}{a(z)}}}{\frac{K_u(z)}{a(z)}} = \frac{a(z)}{K_u(z)} \frac{b_b(z)}{a(z)} \left( -\frac{r_u(z)}{u_u(z)} + \frac{r_d(z)}{u_d(z)} R(z) \right) = \frac{b_b(z)}{K_u(z)} \left( \frac{r_d(z)}{u_d(z)} R(z) - \frac{r_u(z)}{u_u(z)} \right).\end{aligned}$$

分别对 $\varepsilon_d$ 和 $K_d(z)$ 进行对数变化得到 $\ln(\varepsilon_d)$ 和 $\ln(K_d(z))$ 的关系图; 分别对 $\varepsilon_u$ 和 $K_u(z)$ 进行对数变化得到 $\ln(\varepsilon_u)$ 和 $\ln(K_u(z))$ 的关系图, 如图1和图2所示.

从图1很明显地看出利用 $\frac{b_b(z)}{a(z)}$ 计算 $K_d(z)$ ,  $K_d(z)$ 值对误差的敏感程度有如下规律: 当 $\ln(\varepsilon_d) = 0$ 即 $\varepsilon_d = 1$ 时, 得到 $K_d(z) = b_b(z) \left( \frac{r_d(z)}{u_d(z)} - \frac{r_u(z)}{u_u(z)} R(z) \right)$ , 误差敏感度最小, 为0.当 $K_d(z) > b_b(z) \left( \frac{r_d(z)}{u_d(z)} - \frac{r_u(z)}{u_u(z)} R(z) \right)$ 时,  $\ln(\varepsilon_d)$ 的绝对值随着 $K_d(z)$ 的增加而增大; 当 $K_d(z) < b_b(z) \left( \frac{r_d(z)}{u_d(z)} - \frac{r_u(z)}{u_u(z)} R(z) \right)$ 时,  $\ln(\varepsilon_d)$ 的绝对值随着 $K_d(z)$ 的增加而减小.但是由于 $K_d(z)$ 是正值, 对于 $\ln(\varepsilon_d) = -\ln(K_d(z)) - 0.6902$ 式, 使得 $\ln(\varepsilon_d) = 0$ 即 $K_d(z) = b_b(z) \left( \frac{r_d(z)}{u_d(z)} - \frac{r_u(z)}{u_u(z)} R(z) \right)$ 是不成立的, 所以利用 $\frac{b_b(z)}{a(z)}$ 计算 $K_d(z)$ 使得误差敏感度最小点是不存在的.

图 1  $\ln(\varepsilon_d)$  和  $\ln(K_d(z))$  关系图图 2  $\ln(\varepsilon_u)$  和  $\ln(K_u(z))$  关系图Fig. 1 The relationship between  $\ln(\varepsilon_d)$  and  $\ln(K_d(z))$ Fig. 2 The relationship between  $\ln(\varepsilon_u)$  and  $\ln(K_u(z))$ 

而  $\ln(\varepsilon_u)$  和  $\ln(K_u(z))$  在图 2 也表现出同样的规律, 其分界点为  $K_u(z) = b_b(z) \left( \frac{r_d(z)}{u_d(z)} R(z) - \frac{r_u(z)}{u_u(z)} \right)$ .

### 3. 1. 2 $K_d(z), K_u(z)$ 对 $\frac{1}{u_d(z)}$ 和 $\frac{1}{u_u(z)}$ 的敏感度分析

利用上述敏感度计算公式计算  $K_d(z), K_u(z)$  对  $\frac{1}{u_d(z)}$  和  $\frac{1}{u_u(z)}$  的敏感度, 得到计算结果如下:

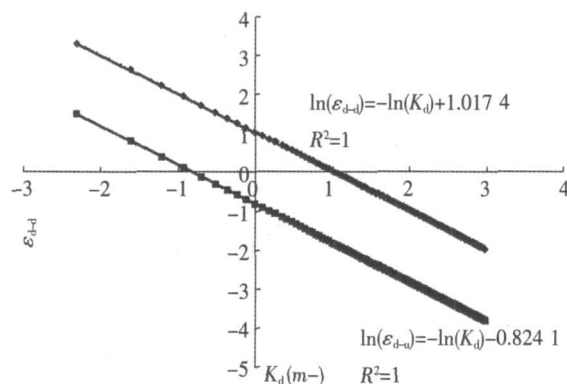
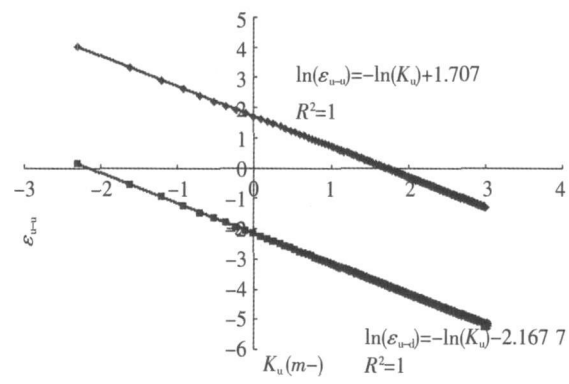
$$\begin{aligned} \varepsilon_{d-d} &= \frac{1}{u_d(z)} \frac{\partial K_d(z)}{\partial \frac{1}{u_d(z)}} = \frac{a(z)}{K_d(z) u_d(z)} \left( 1 + \frac{b_b(z) r_d(z)}{a(z)} \right), \\ \varepsilon_{d-u} &= \frac{1}{u_u(z)} \frac{\partial K_d(z)}{\partial \frac{1}{u_u(z)}} = \frac{a(z)}{K_d(z) u_u(z)} (-R(z) r_u(z)), \\ \varepsilon_{u-u} &= \frac{1}{u_u(z)} \frac{\partial K_u(z)}{\partial \frac{1}{u_u(z)}} = -\frac{a(z)}{K_u(z) u_u(z)} \left( 1 + \frac{b_b r_u(z)}{a} \right), \\ \varepsilon_{u-d} &= \frac{1}{u_d(z)} \frac{\partial K_u(z)}{\partial \frac{1}{u_d(z)}} = \frac{a(z)}{K_u(z) u_d(z)} (R(z) r_d(z)). \end{aligned}$$

对  $\varepsilon_{d-d}$  和  $\varepsilon_{d-u}$  与  $K_d(z)$  做对数变换得到  $\ln(K_d(z))$  和  $\ln(\varepsilon_{d-d})$  与  $\ln(-K_d(z))$  和  $\ln(\varepsilon_{d-u})$  关系图; 对  $\varepsilon_{u-d}$  和  $\varepsilon_{u-u}$  与  $K_u(z)$  做对数变换得到  $\ln(K_u(z))$  和  $\ln(\varepsilon_{u-d})$  与  $\ln(-K_u(z))$  和  $\ln(\varepsilon_{u-u})$  关系图, 如图 3 和图 4 所示.

由图 3 可以很明显看出, 对于  $\ln(\varepsilon_{d-d}) = -\ln(K_d) + 1.0174$  和  $\ln(\varepsilon_{d-u}) = -\ln(-K_d) - 0.8241$  是可以取得临界点, 而图 4 中  $\ln(\varepsilon_{u-d}) = -\ln(K_u) - 2.1677$  和  $\ln(\varepsilon_{u-u}) = -\ln(-K_u) + 1.707$  是取不到临界点的.

$K_d(z)$  对  $\frac{1}{u_d(z)}$  敏感度分界点为:  $K_d(z) = \frac{a(z) + b_b(z) r_d(z)}{u_d(z)}$ .

$K_d(z)$  对  $\frac{1}{u_u(z)}$  敏感度分界点为:  $K_d(z) = \frac{a(z)}{u_u(z)} (-R(z) r_u(z))$ .

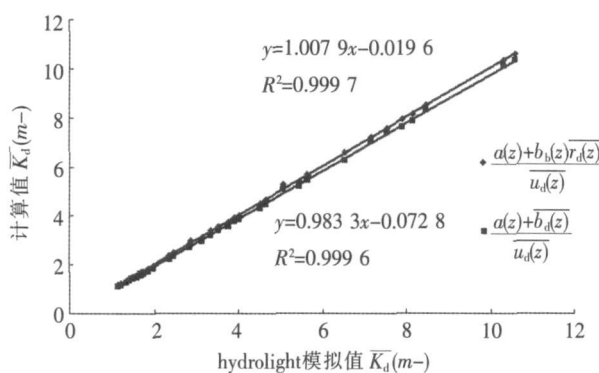
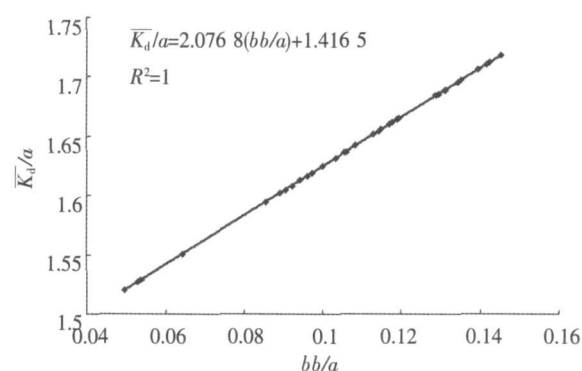
图3  $\ln(K_d(z))$  和  $\ln(e_{d-d})$  与  $\ln(-K_d(z))$  和  $\ln(e_{d-u})$  关系图Fig. 3 The relationship between  $\ln(K_d(z))$  and  $\ln(e_{d-d})$ ,  $\ln(-K_d(z))$  and  $\ln(e_{d-u})$ 图4  $\ln(K_u(z))$  和  $\ln(e_{u-d})$  与  $\ln(-K_u(z))$  和  $\ln(e_{u-u})$  关系图Fig. 4 The relationship between  $\ln(K_u(z))$  and  $\ln(e_{u-d})$ ,  $\ln(-K_u(z))$  and  $\ln(e_{u-u})$ 

$K_u(z)$  对  $\frac{1}{u_d(z)}$  敏感度分界点为:  $K_u(z) = \frac{a(z)}{u_d(z)}(R(z)r_d(z))$  不存在.

$K_u(z)$  对  $\frac{1}{u_u(z)}$  敏感度分界点为:  $K_u(z) = -\frac{a(z) + b_b r_u(z)}{u_u(z)}$  不存在.

所以得到  $K_d(z)$  对  $\frac{1}{u_d(z)}$  敏感分界点的  $K_d(z) = \frac{a(z) + b_b(z)r_d(z)}{u_d(z)}$ , 作为计算  $\overline{K_d(z)} = \frac{a(z) + b_b(z)\overline{r_d(z)}}{u_d(z)}$  的半分析模型, 这一结论与 Asa<sup>[1]</sup> 等学者当  $\frac{b_b(z)}{a(z)} \ll 1$  条件下近似求解结论相一致, 由

于该模型  $\frac{1}{u_d(z)}$  的误差敏感度  $h(\varepsilon_{d-d})$  为 0 所以在该点  $K_d(z)$  计算精度最高, 利用该模型计算  $\overline{K_d(z)}$  和  $\overline{K_d(z)} = \frac{a(z) + b_b(z)}{u_d(z)}$  模型计算值与 Hydro light 模拟值相比较, 得到结果如图 5 和图 6 所示:

图5 Hydro light 模拟值与计算  $\overline{K_d(z)}$  值Fig. 5 The value of  $\overline{K_d(z)}$  from Hydro light simulations versus  $\overline{K_d(z)}$  from model calculate图6  $\overline{K_d(z)}/a$  与  $b_b/a$  关系图Fig. 6 The relationship between  $\overline{K_d(z)}/a$  and  $b_b/a$ 

模型  $\overline{K_d(z)} = \frac{a(z) + b_b(z)\overline{r_d(z)}}{u_d(z)}$  计算值与 Hydro light 模拟值方差为 0.10465 标准差为 0.32349 模

型  $\overline{K_d(z)} = \frac{a(z) + b_b(z)}{u_d(z)}$  计算值与 Hydro light 模拟值方差为 1.02744 标准差为 1.01363, 由此可见模型

$\overline{K_d(z)} = \frac{a(z) + b_b(z)\overline{r_d(z)}}{u_d(z)}$  的计算具有较高的精度.

### 3.2 模型推理

然而  $\overline{K_d(z)} = \frac{a(z) + b_b(z) \overline{r_d(z)}}{u_d(z)}$  模型中存在明显的缺陷, 该模型表现出  $\overline{K_d(z)}$  随  $\frac{b_b(z)}{a(z)}$  线性增加, 显

然这是不符合实际情况, 当  $\frac{b_b(z)}{a(z)} \gg 1$  时,  $\overline{K_d(z)}$  与  $b_b(z)$  是不相关的; 只有当  $\frac{b_b(z)}{a(z)} \ll 1$  时该公式才是成立

的<sup>[1]</sup>. 因此在  $\frac{b_b(z)}{a(z)} \ll 1$  这一条件下, 即后向散射很小, 前项散射占主导位置时,  $K_d(z)$  对  $\frac{1}{u_d(z)}$  敏感度分界

点  $\overline{K_d(z)} = \frac{a(z) + b_b(z) \overline{r_d(z)}}{u_d(z)}$  成立; 由此推测在  $\frac{b_b(z)}{a(z)} \gg 1$  条件下, 后向散射占主导位置,  $K_d(z)$  对  $\frac{1}{u_u(z)}$

敏感度分界点  $K_d(z) = \frac{a(z)}{u_u(z)} (-R(z)r_u(z))$  可以作为  $\frac{b_b(z)}{a(z)} \gg 1$  条件下计算  $\overline{K_d(z)} = \frac{a(z)}{u_u(z)} (-R(z)$

$r_u(z)$ ), 前面的负号是由于  $K_d(z)$  与  $u_u(z)$  方向相反产生的, 其中出现了参数  $R(z)$ .

#### 3.2.1 计算参数 $R(z)$

将  $E_d(z) = E_d(0) \exp(-k_d z)$  代入 (4-1) 进行计算得到:  $R(z) = \frac{c_d - k_d}{b_u}$ , 由 (4-1) 和 (5-1) 对

$E_u(z)$  消元得到:  $\frac{dE_d(z)}{dz} = (c_u - c_d) \frac{dE_d(z)}{dz} + (c_u c_d - b_u b_d) E_d(z)$ .

将  $E_d(z) = E_d(0) \exp(-k_d z)$  代入上式得到:

$$k_d^2 E_d(0) e^{-k_d z} - (cd - cu) k_d E_d(0) e^{-k_d z} + (b_u b_d - c_u c_d) E_d(0) e^{-k_d z} = 0$$

简化得到:  $k_d^2 - (cd - cu) k_d + (b_u b_d - c_u c_d) = 0$  对  $k_d$  解方程得到:

$$k_{d1} = \frac{(c_d - c_u)}{2} + \frac{\sqrt{(c_u + c_d)^2 - 4b_u b_d}}{2}, \quad k_{d2} = \frac{(c_d - c_u)}{2} - \frac{\sqrt{(c_u + c_d)^2 - 4b_u b_d}}{2}.$$

由于在  $E_d(z) = E_d(0) \exp(-k_d z)$  中定义  $k_d$  是大于 0 的数, 因此取正根  $k_d = k_{d1} = \frac{(c_d - c_u)}{2} +$

$\frac{\sqrt{(c_u + c_d)^2 - 4b_u b_d}}{2}$ , 联合  $R(z) = \frac{c_d - k_d}{b_u}$  得到:

$$R(z) = \frac{c_d + c_u}{2b_u} - \left[ \left( \frac{c_d + c_u}{2b_u} \right)^2 - \frac{b_d}{b_u} \right]^{\frac{1}{2}}.$$

当  $\frac{b_b(z)}{a(z)} \gg 1$ ,  $c_d \approx b_d$ ,  $c_u \approx b_u$  则:

$$R(z) \approx \frac{b_d + b_u}{2b_u} - \left[ \left( \frac{b_u - b_d}{2b_u} \right)^2 \right]^{\frac{1}{2}},$$

由于  $b_u > b_d$ ,  $\left[ \left( \frac{b_u - b_d}{2b_u} \right)^2 \right]^{\frac{1}{2}} = \frac{b_u - b_d}{2b_u}$ ,

$R(z) \approx \frac{b_d}{b_u} = \frac{r_d u_u}{r_u u_d}$ , 将此式代入  $K_d(z) = \frac{a(z)}{u_d(z)} (-R(z)r_u(z))$ , 由于下行漫衰减系数  $K_d(z)$  相对于上

行平均余弦  $u_u(z)$ , 所以在约去上行平均余弦时, 应该去掉其负号, 得到:

$$K_d(z) = \frac{a(z) r_d}{u_d(z)} \left( \frac{b_b(z)}{a(z)} \gg 1 \right).$$

#### 3.2.2 模型检验

当  $\frac{b_b(z)}{a(z)} \gg 1$ , 利用模型  $\overline{K_d(z)} = \frac{a(z) + b_b(z) \overline{r_d(z)}}{u_d(z)}$  和  $\overline{K_d(z)} = \frac{a(z) \overline{r_d}}{u_d(z)}$  分别计算  $\overline{K_d(z)}$ , 并与

HydroLight 模拟值进行比较, 得到结果如图 7 所示: 模型  $\overline{K_d(z)} = \frac{a(z) \overline{r_d}}{u_d(z)}$  在计算精度和回归相关性上都要

比  $\overline{K_d(z)} = \frac{a(z) + b_b(z) \overline{r_d(z)}}{u_d(z)}$  模型好, 由此可以得到  $\overline{K_d(z)}$  的计算模型:

$$\overline{K_d(z)} = \frac{a(z) + b_b(z) \overline{r_d(z)}}{u_d(z)} \quad \left( \frac{b_b(z)}{a(z)} \ll 1 \right),$$

$$\overline{K_d(z)} = \frac{a(z) \overline{r_d}}{u_d(z)} \quad \left( \frac{b_b(z)}{a(z)} \gg 1 \right).$$

## 4 结论

通过敏感度分析以及模拟我们得到以下重要结论:

1) 模型  $\overline{K_d(z)} = \frac{a(z) + b_b(z) \overline{r_d(z)}}{u_d(z)}$  在  $\frac{b_b(z)}{a(z)} \ll 1$  时计算  $\overline{K_d(z)}$  的精度和相关性较好, 可以用于实际计算。该结论验证 A sa<sup>[1]</sup> 等学者的结论。

2) 模型  $\overline{K_d(z)} = \frac{a(z) \overline{r_d}}{u_d(z)}$  在  $\frac{b_b(z)}{a(z)} \gg 1$  时  $\overline{K_d(z)}$  的精度和相关性较好, 可以用于实际计算, 并且该式简单易行, 从表达式中我们还可以看出, 在  $\frac{b_b(z)}{a(z)} \gg 1$  时  $\overline{K_d(z)}$  值是与后向散射系数不相关。

3) 最终我们得到综合分段模型:

$$\overline{K_d(z)} = \frac{a(z) + b_b(z) \overline{r_d(z)}}{u_d(z)} \quad \left( \frac{b_b(z)}{a(z)} \ll 1 \right),$$

$$\overline{K_d(z)} = \frac{a(z) \overline{r_d}}{u_d(z)} \quad \left( \frac{b_b(z)}{a(z)} \gg 1 \right).$$

该综合分段模型应用范围广泛, 但缺憾的是, 该模型求解的只是平均漫衰减系数, 对于分层现象严重, 水体情况复杂难以用平均漫衰减系数  $\overline{K_d(z)}$  表示的地区, 需要进一步深入的研究和探讨。

附表: 参数说明

Attached Table Explanation of parameters

参数	说明
$\overline{u_d} \overline{u_u}$	下行和上行平均余弦 ( $u_d, u_u$ ) 的平均值, $u_d = \frac{\int_{2\pi d} L(z, \theta, \varphi) \cos \theta d\omega}{\int_{2\pi d} L(z, \theta, \varphi) d\omega}, u_u = \frac{\int_{2\pi u} L(z, \theta, \varphi) \cos \theta d\omega}{\int_{2\pi u} L(z, \theta, \varphi) d\omega}$
$r_d \ r_u$	下行和上行光场分布形状因子, $r_d = \frac{1}{b_b E_{od}} \int_{2\pi d} \left[ \int_{2\pi u} \beta(\theta, \phi, \theta', \phi') d\Omega \right] L(z, \theta', \varphi') d\Omega'$ , $r_u = \frac{1}{b_b E_{ou}} \int_{2\pi u} \left[ \int_{2\pi d} \beta(\theta, \phi, \theta', \phi') d\Omega \right] L(z, \theta', \varphi') d\Omega'$
$\beta(z, \theta, \varphi, \theta', \varphi')$	散射相函数
$c$	衰减系数
$a$	吸收系数
$b$	散射系数 $b = 2\pi \int \beta(\alpha) \sin \alpha d\alpha$ , $\alpha$ 为 $(\theta, \varphi)$ 与 $(\theta', \varphi')$ 的夹角
$b_b$	后向散射系数 $b = 2\pi \int_{\pi/2} \beta(\alpha) \sin \alpha d\alpha$
$b_d \ b_u$	下行和上行散射系数, $b_d(z) = r_d(z) b_b(z) / u_d(z), b_u(z) = r_u(z) b_b(z) / u_u(z)$
$a_d \ a_u$	下行和上行吸收系数, $a_d(z) = a(z) / u_d(z), a_u(z) = a(z) / u_u(z)$
$c_d \ c_u$	下行和上行衰减系数, $c_d(z) = a_d(z) + b_d(z), c_u(z) = a_u(z) + b_u(z)$

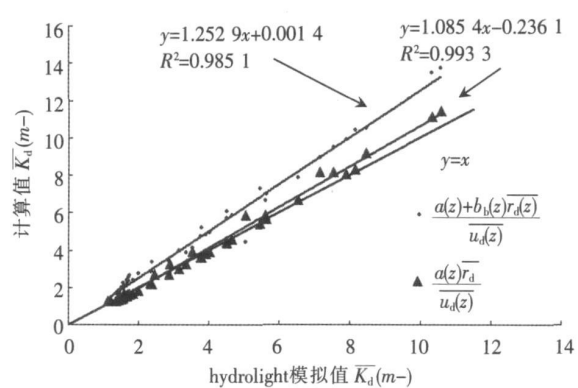


图 7 Hydrolight 模拟值与  $\overline{K_d(z)} = \frac{a(z) + b_b(z) \overline{r_d(z)}}{u_d(z)}$  模型、

$$\overline{K_d(z)} = \frac{a(z) \overline{r_d}}{u_d(z)}$$
 模型计算值比较图

Fig. 7 The value of  $\overline{K_d(z)}$  from Hydrolight simulations versus the value from model  $\overline{K_d(z)} = \frac{a(z) + b_b(z) \overline{r_d(z)}}{u_d(z)}$

$$\text{and } \overline{K_d(z)} = \frac{a(z) \overline{r_d}}{u_d(z)} \text{ calculate}$$

参数	说明
$E_d(z), E_u(z)$	下行和上行辐照度 $E_d(z) = \int_{2\pi d} L(z, \theta, \varphi) \cos \theta d\omega, E_u(z) = \int_{2\pi u} L(z, \theta, \varphi) \cos \theta d\omega$
$\overline{K_d(z)}, \overline{K_u(z)}$	下行和上行漫衰减系数的平均值
$K_d(z), K_u(z)$	下行和上行漫衰减系数 $K_d(z) = -\frac{dE_d(z)}{E_d(z) dz}, K_u(z) = -\frac{dE_u(z)}{E_u(z) dz}$

## [参考文献]

- [1] Asai E. Two stream irradiance model for deep waters[J]. Applied Optics, 1987, 26(11): 2095-2101.
- [2] Berwold J, Stranskij D, Mobley C D. Influences of absorption and scattering on vertical changes in the average cosine of the underwater light field[J]. Limnol Oceanogr, 1995, 40(1): 1347-1357.
- [3] Paavel B, Aist H, Reinart A. Model calculations of diffuse attenuation coefficient spectra in lake waters[J]. Proc Estonian Acad Sci Biol Environ, 2006, 55(1): 61-81.
- [4] Gallegos C L, Correll D L. Modeling spectral diffuse attenuation, absorption, and scattering coefficients in a turbid estuary [J]. Limnol Oceanogr, 1990, 35(7): 1486-1502.
- [5] Gallegos C L. Calculating optical water quality targets to restore and protect submersed aquatic vegetation overcom ing problems in partitioning the diffuse attenuation coefficient for photosynthetically active radiation[J]. Estuaries, 2001, 24(3): 380-397.
- [6] Kirk JT O. The vertical attenuation of irradiance as a function of the optical properties of the water[J]. Limnol Oceanogr, 2003, 48(1): 9-17.
- [7] 张运林, 秦伯强, 陈伟民, 等. 太湖水体光学衰减系数的分布及其变化特征[J]. 水科学进展, 2003, 14(4): 447-453.
- [8] 张运林, 秦伯强, 陈伟民, 等. 太湖水体光学衰减系数的特征及参数化[J]. 海洋与湖沼, 2004, 35(3): 209-213.
- [9] 王晓梅, 唐军武, 丁静, 等. 黄海、东海二类水体漫衰减系数与透明度反演模式研究[J]. 海洋学报, 2005, 27(5): 38-45.
- [10] Lee Z P, Carter K L, Mobley C D. Hyperspectral remote sensing for shallow waters 1: A semi-analytical model[J]. Appl Opt, 1998, 37(3): 6329-6338.
- [11] Lee Z P, Du K P, Arnone R. A model for the diffuse attenuation coefficient of downwelling irradiance[J]. Journal of Geophysical Research, 2005, 110, C02016, doi: 10.1029/2004JC002275.
- [12] Mobley C D, Gentili B, Gordon H R. Comparison of numerical models for computing underwater light fields[J]. Appl Opt, 1993, 32(7): 7484-7504.
- [13] McDermid N J, Francisco P W. Radiative transfer two-stream shape factors for ocean optics[J]. Appl Opt, 1995, 34(27): 6248-6255.
- [14] McDermid N J. Asymptotic optical attenuation[J]. Limnol Oceanogr, 1992, 37(7): 1570-1578.
- [15] McDermid N J. Mathematical models for the mean cosine of irradiance and the diffuse attenuation coefficient[J]. Limnol Oceanogr, 1995, 40(5): 1013-1018.
- [16] Morel A, Loisel H. Apparent optical properties of oceanic water: Dependence on the molecular scattering contribution[J]. Appl Opt, 1998, 37(2): 4765-4776.
- [17] Stavn R H, Weidemann A D. Shape factors, two-flow models, and the problem of irradiance inversion in estimating optical parameters[J]. Limnol Oceanogr, 1989, 34(8): 1426-1441.
- [18] Zheng X, Dickey T, Chang G. Variability of the downwelling diffuse attenuation coefficient with consideration of inelastic scattering[J]. Appl Opt, 2002, 41(30): 6477-6488.

[责任编辑: 顾晓天]